

**ДОНОРНО-АКЦЕПТОРНЫЕ КОМПЛЕКСЫ КИСЛОТЫ ЛЬЮИСА
GA[N(C₆F₅)₂]₃ С ПИРИДИНОМ И ДИЭТИЛОВЫМ ЭФИРОМ**

А.С. Завгородний, М.А. Крюкова, А.Ю. Тимошкин

*Институт химии, Санкт-Петербургский государственный университет, Санкт-Петербург, Россия
E-mail: a.zavgorodny@spbu.ru*

*Статья поступила
17.10.2024*

*С доработки
29.10.2024*

*Принята к публикации
29.10.2024*

Впервые получены и охарактеризованы методом рентгеноструктурного анализа моно-кристаллов донорно-акцепторные комплексы кислоты Льюиса Ga[N(C₆F₅)₂]₃ с пиридином и диэтиловым эфиром. Атом галлия в комплексах находится в тригонально-пирамидальном окружении с валентными углами, значительно отличающимися от тетраэдрических, что свидетельствует о затрудненной перестройке молекулы кислоты Льюиса из свободного состояния в геометрию донорно-акцепторного комплекса.

DOI: 10.26902/JSC_id140068
EDN: FGQGHZ

Ключевые слова: кислоты Льюиса, донорно-акцепторное взаимодействие, рентгеноструктурный анализ, декафтодифениламид галлия, пиридин, ацетонитрил.

ВВЕДЕНИЕ

Кислоты Льюиса играют ключевую роль во многих областях современной химии. Они широко используются в качестве катализаторов [1, 2], например, в реакциях Дильса – Альдера [3], Фриделя – Крафтса [4], реакциях миграции сульфоксильной группы [5] или при энантиоселективном синтезе асимметричных соединений [6], как компоненты разделенных льюисовских пар [7], для стабилизации реакционноспособных катионов путем образования слабо координированных анионов [8].

После публикации работы Кроссинга, посвященной кислоте Льюиса Al[OC(CF₃)₃]₃ [9], широкое внимание привлекли кислоты Льюиса с объемными фторсодержащими электрон-акцепторными заместителями, методы дизайна которых рассмотрены в [10–14]. В последнее время синтезирован ряд подобных кислот, например, B(C₆F₄H)₃, B(C₆F₃H₂)₃ [15] B(C₆F₄CF₃)₃ [16], B(C₆F₅)₂(2-(C₆F₅)C₆F₄) [17], Al[OC(C₆F₅)₃]₃ [18], Al[N(C₆F₅)₂]₃ и Ga[N(C₆F₅)₂]₃ [19].

Понимание химических свойств кислоты Льюиса включает рассмотрение не только свободной кислоты, но также ее донорно-акцепторных комплексов с основаниями Льюиса. Образование таких комплексов приводит к отчетливым структурным изменениям. В 2022 г. описаны комплексы Ga[N(C₆F₅)₂]₃ с CH₃CN, t-BuNC, THF и PMe₃ [20]. В настоящей работе рассмотрены синтез и структурные особенности донорно-акцепторных комплексов Ga[N(C₆F₅)₂]₃ с пиридином и диэтиловым эфиром, их сходства и отличия от полученных ранее донорно-акцепторных комплексов.

ЭКСПЕРИМЕНТАЛЬНАЯ ЧАСТЬ

Поскольку большая часть используемых реагентов и получаемых продуктов крайне чувствительна к кислороду и влаге воздуха, все синтетические работы выполняли в инертной атмосфере сухого аргона с помощью перчаточного бокса «Inertlab 2GB» или линии Шленка. Продажные GaCl_3 (Alfa Aesar, 99.999 %), NaNH_2 (Sigma Aldrich, 98 %), $n\text{BuLi}$ (Acros, 2.5M раствор в гексане), C_6F_6 (TCI Chemicals, 99.0 %) использовали без дополнительной очистки. Диэтиловый эфир, толуол («Вектон»), пиридин («Реахим») осушали над натрием и перегоняли в инертной атмосфере на линии Шленка, дегазировали на линии Шленка и выдерживали над активированными цеолитами марки 4 Å не менее суток. Дихлорметан («Неваактив») и CCl_4 («ЭКОС-1») осушали над гидридом кальция и перегоняли в инертной атмосфере на линии Шленка, дегазировали на линии Шленка и выдерживали над активированными цеолитами марки 4 Å не менее суток.

Внимание: $n\text{BuLi}$ может самовоспламеняться на воздухе. Реакции, в которых образуется $\text{C}_6\text{F}_5\text{Li}$, следует проводить при температуре -78°C , поскольку при более высоких температурах он взрывоопасен [21].

Измерение спектров ЯМР выполняли на ЯМР спектрометре «Bruker AVANCE 400» с использованием SiMe_4 и CFCl_3 в качестве стандартов.

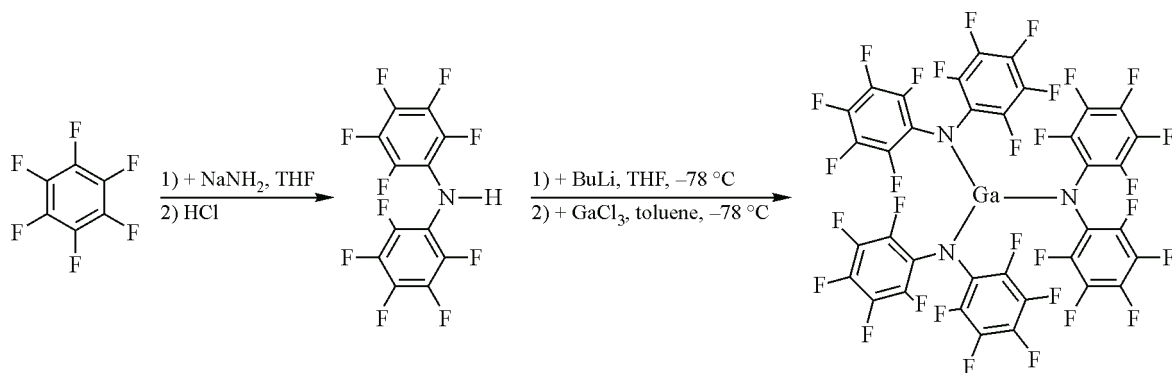
В эксперименте по рентгеновской дифракции монокристаллов данные получены с помощью дифрактометров Rigaku «XtaLAB Synergy» ($\text{Cu}K_\alpha$, $\lambda = 1.54184 \text{ \AA}$, детектор типа HyPix-6000) и Rigaku (Oxford Diffraction) «SuperNova XtaLAB» с применением монохроматизированного излучения дифрактометра $\text{Cu}K_\alpha$ ($\text{Cu}K_\alpha$, $\lambda = 1.54184 \text{ \AA}$, детектор типа HyPix-3000) при 100 К. Эмпирическая коррекция поглощения осуществлена в программном комплексе CrysAlisPro [22] с использованием сферических гармоник, реализованных в алгоритме масштабирования SCALE3 ABSPACK. Структуры решены с помощью программы решения структур ShelXT [24] с применением внутренней фазировки, уточнены с помощью пакета уточнения ShelXL [25] с использованием минимизации методами комбинированного поиска глобальных и локальных экстремумов, а также методом наименьших квадратов в полноматричном анизотропно-изотропном приближении. Все перечисленное осуществлено с помощью пакета программного обеспечения Olex2 [23]. Все атомы водорода локализованы в геометрически рассчитанные положения и уточнены в изотропном приближении в модели «наездника».

Полный набор кристаллографических данных депонирован в Кембриджскую базу кристаллографических данных (CCDC № 2389597-2389599) и может быть получен по ссылке www.ccdc.cam.ac.uk/data_request/cif, по электронной почте data_request@ccdc.cam.ac.uk или путем обращения в Кембриджский центр кристаллографических данных (12 Union Road, Cambridge CB2 1EZ, UK; fax: +44 1223 336033).

В записи формул в настоящей работе мы используем два разных символа для обозначения связей между разными молекулами в соединении: точку для обозначения донорно-акцепторной связи между кислотой Льюиса и основанием Льюиса, подчеркивая ее особенность, астериск для обозначения включения молекул растворителя в структуру кристаллосольваты.

Синтез соединений. Синтез $\text{Ga}[\text{N}(\text{C}_6\text{F}_5)_2]_3$ выполняли в три этапа по методике, описанной в [19]: на первом синтезировали прекурсор $(\text{C}_6\text{F}_5)_2\text{NH}$; на втором проводили реакцию замещения водорода на литий в прекурсоре; на третьем – взаимодействие литированного прекурсора с треххлоридом галлия с образованием целевого соединения. Схема синтеза кислоты Льюиса $\text{Ga}[\text{N}(\text{C}_6\text{F}_5)_2]_3$ представлена на рис. 1.

Синтез $\text{HN}(\text{C}_6\text{F}_5)_2$. В атмосфере аргона к раствору 8.5452 г NaNH_2 (219.11 ммоль, 4.5 экв.) в 100 мл ТГФ прилили 18.4 мл (36.36 г, 195.5 ммоль, 1 экв.) гексафторбензола при помощи капельной воронки при перемешивании в течение 20 мин. Раствор прокипятили с обратным ходильником в течение 3 ч. После остывания колбу открыли на воздухе и прилили 150 мл дистиллированной воды. Затем, добавляя концентрированную соляную кислоту, довели pH раствора до 4, контролируя этот параметр с помощью универсальной индикаторной бумаги. Раствор перенесли на делительную воронку и отделили органическую фазу от водной, трижды промыв

Рис. 1. Синтез кислоты Льюиса $\text{Ga}[\text{N}(\text{C}_6\text{F}_5)_2]_3$

125 мл диэтилового эфира. Эфирный раствор осушили над безводным сульфатом натрия в течение суток, после чего отфильтровали. Растворитель удалили на роторном испарителе. Оставшийся продукт в виде красного масла перенесли в колбу Шленка и пересублимировали под вакуумом на погружной холодильник при нагревании дна колбы на масляной бане до 90 °С. Полученный грязно-белый твердый продукт собирали в атмосфере аргона и пересублимировали вторично с образованием чистого белого вещества $\text{HN}(\text{C}_6\text{F}_5)_2$. Выход $\text{HN}(\text{C}_6\text{F}_5)_2$ составил 19.5274 г (0.056 моль, 57.4 %).

Раствор соединения $\text{HN}(\text{C}_6\text{F}_5)_2$ в CDCl_3 охарактеризован методом ЯМР спектроскопии на ядрах ^1H и $^{19}\text{F}\{^1\text{H}\}$ (^1H : $\delta = 5.20$ м. д. (s, NH); $^{19}\text{F}\{^1\text{H}\}$: $\delta = -153.88$ м. д. (2F, m), $\delta = -162.66$ м. д. (3F, m, *m*-F и *p*-F)).

Синтез $\text{Ga}[\text{N}(\text{C}_6\text{F}_5)_2]_3$. 781 мг $\text{HN}(\text{C}_6\text{F}_5)_2$ (2.237 ммоль, 3 экв.) растворили в 25 мл толуола и охладили до -78 °С. К раствору прилили 0.9 мл *n*BuLi в гексане с концентрацией 2.5 моль/л (2.25 ммоль, 3 экв.). Раствор перемешивали при -78 °С в течение часа, после к нему добавили 132 мг GaCl_3 (0.750 ммоль, 1 экв.) в 5 мл толуола. Смесь перемешивали при охлаждении в течение часа. Затем реакционной смеси дали нагреться до комнатной температуры, в течение часа нагрели до 80–90 °С и выдержали при этой температуре в течение 17 ч. Полученный бурый раствор отфильтровали через порошок цеолита в атмосфере аргона при 70 °С. Бесцветный раствор поместили в холодильник при температуре -30 °С. В течение нескольких дней из раствора образовались бесцветные кристаллы. Холодный раствор декантировали, кристаллы промыли двумя порциями по 10 мл холодного гексана. Выход составил 452 мг (0.406 ммоль, 54.4 %). Раствор полученной кислоты $\text{Ga}[\text{N}(\text{C}_6\text{F}_5)_2]_3$ в CDCl_3 охарактеризован методом ЯМР спектроскопии на ядрах ^1H (сигнал, соответствующий амину $\text{HN}(\text{C}_6\text{F}_5)_2$, отсутствовал) и $^{19}\text{F}\{^1\text{H}\}$: $\delta = -150.73$ м. д. (2F, d, *J*(FF) = 19.54 Гц, *o*-F), $\delta = -157.72$ м. д. (1F, t, *J*(FF) = 21.41 Гц, *p*-F), $\delta = 160.54$ м. д. (2F, t, *J*(FF) = 19.67 Гц, *m*-F)).

Синтез комплекса $\text{Ga}[\text{N}(\text{C}_6\text{F}_5)_2]_3 \cdot \text{Py}$ проводили путем добавления избытка пиридина к раствору кислоты $\text{Ga}[\text{N}(\text{C}_6\text{F}_5)_2]_3$ в толуоле, дихлорметане и четыреххлористом углероде при различных режимах охлаждения в течение длительного времени. Успехом завершился эксперимент, в котором к раствору 34 мг (31 мкмоль) $\text{Ga}[\text{N}(\text{C}_6\text{F}_5)_2]_3$ в 2 мл CCl_4 приливали 40 мг пиридина (506 мкмоль), затем раствор постепенно охлаждали до -30 °С в течение нескольких месяцев. Сформировавшиеся бесцветные кристаллы представляют собой сольват $\text{Ga}[\text{N}(\text{C}_6\text{F}_5)_2]_3 \cdot \text{Py} \cdot 2\text{CCl}_4$. Кристаллы охарактеризованы методом рентгеноструктурного анализа (РСА).

В других случаях образовывались аморфные или поликристаллические белые осадки, не-пригодные для РСА. Тем не менее, продукты взаимодействия кислоты $\text{Ga}[\text{N}(\text{C}_6\text{F}_5)_2]_3$ с пиридином во всех трех растворителях были растворены в CDCl_3 и исследованы методом ЯМР спектроскопии на ядрах ^1H и $^{19}\text{F}\{^1\text{H}\}$. Во всех спектрах наблюдается один и тот же набор сигналов: ^1H : $\delta = 8.62$ м. д. (2H, d, *J*(HH) = 5.52 Гц, *o*-H(py)), $\delta = 8.20$ м. д. (1H, t, *J*(HH) = 7.76 Гц, *p*-H(py)), $\delta = 7.65$ м. д. (2H, dd, *J*(HH) = 6.22 Гц, *J*(HN) = 7.70 Гц, *m*-H(py)), $\delta = 5.20$ м. д. (s, $\text{HN}(\text{C}_6\text{F}_5)_2$);

$^{19}\text{F}\{^1\text{H}\}$: $\delta = -148.29$ м. д. (2F, d, $J(\text{FF}) = 23.87$ Гц, $o\text{-F}([\text{Ga}\{\text{N}(\text{C}_6\text{F}_5)_2\}_3])$), $\delta = -153.90$ м. д. (2F, dd, $J(\text{FF}) = 11.80$ Гц, $J(\text{FF}) = 16.89$ Гц, $o\text{-F}(\text{HN}(\text{C}_6\text{F}_5)_2)$), $\delta = -159.88$ м. д. (1F, t, $J(\text{FF}) = 22.19$ Гц, $p\text{-F}([\text{Ga}\{\text{N}(\text{C}_6\text{F}_5)_2\}_3])$), $\delta = -162.64$ м. д. (3F, m, $p\text{-F}$ и $m\text{-F}(\text{HN}(\text{C}_6\text{F}_5)_2)$), $\delta = -162.95$ м. д. (2F, t, $J(\text{FF}) = 23.59$ Гц, $m\text{-F}([\text{Ga}\{\text{N}(\text{C}_6\text{F}_5)_2\}_3])$). Сигналы в спектрах принадлежат комплексу $\text{Ga}[\text{N}(\text{C}_6\text{F}_5)_2]_3 \cdot \text{Py}$ (они заметно отличаются от сигналов как свободной кислоты $\text{Ga}[\text{N}(\text{C}_6\text{F}_5)_2]_3$, так и свободного пиридина) и $\text{HN}(\text{C}_6\text{F}_5)_2$ – продукту его гидролиза (как и исходная кислота, комплекс чрезвычайно чувствителен к влаге). Соотношение интенсивностей сигналов комплекса и продуктов его гидролиза меняется от спектра к спектру и зависит от внешних факторов – герметичности ампулы ЯМР и времени нахождения ее вне инертной атмосферы.

Синтез комплекса $\text{Ga}[\text{N}(\text{C}_6\text{F}_5)_2]_3 \cdot \text{Et}_2\text{O}$ проводили путем непосредственного взаимодействия реагентов. К раствору $\text{Ga}[\text{N}(\text{C}_6\text{F}_5)_2]_3$ добавляли диэтиловый эфир. Поскольку интерес представляла структура образующегося комплекса, предприняты многочисленные попытки вырастить монокристаллы $\text{Ga}[\text{N}(\text{C}_6\text{F}_5)_2]_3 \cdot \text{Et}_2\text{O}$ из растворов с использованием различных растворителей (толуол, дихлорметан, четыреххлористый углерод) и режимов роста кристаллов. Удачными оказались два эксперимента.

В первом случае к раствору $\text{Ga}[\text{N}(\text{C}_6\text{F}_5)_2]_3$ (34 мг, 31 мкмоль) в 2.5 мл толуола приливали диэтиловый эфир (30 мг, 405 мкмоль), после чего раствор охладили до -10°C и выдерживали при этой температуре в течение суток. Сформировавшиеся кристаллы представляют собой сольват $\text{Ga}[\text{N}(\text{C}_6\text{F}_5)_2]_3 \cdot \text{Et}_2\text{O} \cdot \text{C}_7\text{H}_8$. Во втором к раствору $\text{Ga}[\text{N}(\text{C}_6\text{F}_5)_2]_3$ (35 мг, 31 мкмоль) в 1 мл дихлорметана приливали диэтиловый эфир (34 мг, 459 мкмоль), затем раствор охладили до -10°C и выдерживали при этой температуре в течение двух недель. Образовавшиеся кристаллы соответствуют составу $\text{Ga}[\text{N}(\text{C}_6\text{F}_5)_2]_3 \cdot \text{Et}_2\text{O}$. В обоих экспериментах кристаллы охарактеризованы методом рентгеноструктурного анализа монокристаллов.

Оба продукта, а также непригодный для РСА образец, полученный при добавлении к $\text{Ga}[\text{N}(\text{C}_6\text{F}_5)_2]_3$ (34 мг, 31 мкмоль) в 2 мл CCl_4 диэтиловый эфир (30 мг, 405 мкмоль), растворили в CDCl_3 и исследовали методом ЯМР спектроскопии на ядрах ^1H и $^{19}\text{F}\{^1\text{H}\}$. Для образцов, выделенных из дихлорметана и толуола, наблюдалось разложение кислоты Льюиса, видимо, попавшими в систему следами воды: ^1H : $\delta = 5.30$ м. д. (s, CH_2Cl_2), $\delta = 3.48$ м. д. (2H, q, $J(\text{HH}) = 7.00$ Гц, CH_2), $\delta = 1.21$ м. д. (3H, t, $J(\text{HH}) = 7.01$ Гц, CH_3), спектр соответствует амину $(\text{C}_6\text{F}_5)_2\text{NH}$ и некоординированному эфиру; $^{19}\text{F}\{^1\text{H}\}$: $\delta = -153.88$ м. д. (2F, m, $o\text{-F}(\text{HN}(\text{C}_6\text{F}_5)_2)$, $\delta = -162.67$ м. д. (3F, m, $p\text{-F}$ и $m\text{-F}(\text{HN}(\text{C}_6\text{F}_5)_2)$). Для образца, полученного в растворе CCl_4 , наблюдался следующий набор сигналов: ^1H : $\delta = 3.48$ м. д. (2H, q, $J(\text{HH}) = 7.02$ Гц, CH_2), $\delta = 1.21$ м. д. (3H, t, $J(\text{HH}) = 7.02$ Гц, CH_3), спектр соответствует некоординированному эфиру; $^{19}\text{F}\{^1\text{H}\}$: $\delta = -150.72$ м. д. (2F, d, $J(\text{FF}) = 25.51$ Гц, $o\text{-F}$), $\delta = -157.71$ м. д. (1F, t, $J(\text{FF}) = 22.35$ Гц, $p\text{-F}$), $\delta = -160.52$ м. д. (2F, dd, $J(\text{FF}) = 15.57$ Гц, $J(\text{FF}) = 37.23$ Гц, $m\text{-F}$), спектр соответствует свободной кислоте $\text{Ga}[\text{N}(\text{C}_6\text{F}_5)_2]_3$. Исходя из полученных данных, можно сделать вывод, что, несмотря на наличие комплекса $\text{Ga}[\text{N}(\text{C}_6\text{F}_5)_2]_3 \cdot \text{Et}_2\text{O}$ в твердой фазе, в растворе комплекс полностью диссоциирует на свободные кислоту и основание Льюиса.

РЕЗУЛЬТАТЫ И ИХ ОБСУЖДЕНИЕ

Рассмотрим структуры донорно-акцепторных комплексов, установленные в настоящей работе. Кристаллографические данные представлены в табл. 1, молекула $\text{Ga}[\text{N}(\text{C}_6\text{F}_5)_2]_3 \cdot \text{Py} \cdot 2\text{CCl}_4$ – на рис. 2.

Интересно сравнение экспериментальной кристаллической структуры сольватного донорно-акцепторного комплекса $\text{Ga}[\text{N}(\text{C}_6\text{F}_5)_2]_3 \cdot \text{Py} \cdot 2\text{CCl}_4$ с расчетной структурой этого $\text{Ga}[\text{N}(\text{C}_6\text{F}_5)_2]_3 \cdot \text{Py}$ в газовой фазе, полученной ранее [26]. Обращают на себя внимание сразу несколько различий. В экспериментальной структуре отмечаются гораздо более короткие связи Ga—N, чем в расчетной: донорно-акцепторная связь короче на 0.06 Å, а связи металла с декафтордифениламиногруппами – на 0.02 Å. Уменьшение длин связей в кристалле по сравнению с расчетными данными может быть обусловлено межмолекулярными взаимодействиями [27]. Существенная разница

Т а б л и ц а 1

Кристаллографические данные и экспериментальные условия получения структур для комплексов Ga[N(C₆F₅)₂]₃

Параметр	[(C ₆ F ₅) ₂ N] ₃ Ga · Py*2CCl ₄	[(C ₆ F ₅) ₂ N] ₃ Ga · Et ₂ O*C ₇ H ₈	[(C ₆ F ₅) ₂ N] ₃ Ga · Et ₂ O
№ КБСД	2389599	2389598	2389597
Брутто-формула	C ₄₁ H ₅ GaF ₃₀ N ₄ , 2(CCl ₄)	C ₄₀ H ₁₀ GaF ₃₀ N ₃ O, C ₇ H ₈	C ₄₀ H ₁₀ GaF ₃₀ N ₃ O
Молекулярная масса	1500.83	1280.36	1188.23
Температура, К	99.9(7)	100.00(11)	100.00(10)
Сингония	Моноклинная	Моноклинная	Триклинная
Пространственная группа	P2 ₁ /n	P2 ₁ /n	P ₁
<i>a, b, c</i> , Å	11.7086(1), 19.0273(2), 22.7923(3)	17.7586(2), 12.3373(2), 21.4973(2)	11.8227(7), 12.9245(6), 15.6956(6)
α, β, γ , град.	90, 92.592(1), 90	90, 102.820(1), 90	79.932(4), 76.159(5), 73.944(5)
Объем ячейки, Å ³	5072.54(8)	4592.5(1)	2222.6(2)
<i>Z</i>	4	4	2
Плотность, г/см ³	1.965	1.852	1.776
μ , мм ⁻¹	6.041	2.368	2.390
<i>F</i> (000)	2912.0	2520.0	1160.0
Размеры кристалла, мм	0.12×0.1×0.08	0.18×0.14×0.10	0.15×0.12×0.1
Излучение CuK _α (λ)	1.54184	1.54184	1.54184
Интервал углов 2θ, град.	6.054–138.566	5.854–138.42	5.838–134.994
Индексы <i>h, k, l</i>	$-14 \leq h \leq 14,$ $-22 \leq k \leq 23,$ $-27 \leq l \leq 27$	$-21 \leq h \leq 21,$ $-14 \leq k \leq 14,$ $-26 \leq l \leq 19$	$-14 \leq h \leq 14,$ $-15 \leq k \leq 15,$ $-18 \leq l \leq 18$
Количество отражений / независимые	55645 / 9428	42327 / 8514	26280 / 7946
<i>R</i> _{int} , <i>R</i> _σ	0.0738, 0.0441	0.0499, 0.0337	0.1682, 0.1133
GOOF	1.034	1.025	1.401
<i>R</i> _{hkl} (по <i>I</i> > 2σ(<i>I</i>))	<i>R</i> ₁ = 0.0559, <i>wR</i> ₂ = 0.1501	<i>R</i> ₁ = 0.0346, <i>wR</i> ₂ = 0.0737	<i>R</i> ₁ = 0.1174, <i>wR</i> ₂ = 0.3349
<i>R</i> _{hkl} (по всем данным)	<i>R</i> ₁ = 0.0664, <i>wR</i> ₂ = 0.1585	<i>R</i> ₁ = 0.0421, <i>wR</i> ₂ = 0.0769	<i>R</i> ₁ = 0.1427, <i>wR</i> ₂ = 0.3733
Остаточная электронная плотность (макс. / мин.), е/Å ³	1.44 / -1.02	0.36 / -0.46	1.84 / -1.75

наблюдается и в значениях валентных углов. В расчетной структуре углы N—Ga—N, где ни один из атомов азота не принадлежит пиридиновому кольцу, составляют 111.04°, 111.21° и 114.17°, а их сумма 336.4°, а в экспериментальной – 104.09°, 116.30° и 124.34°, а их сумма 344.7°, что уже ближе к 360°, чем к сумме трех тетраэдрических углов (328.41°). Для углов N—Ga—N(C₆F₅)₂, где один из атомов азота принадлежит пиридину, квантово-химические расчеты предсказывают значения 100.25°, 100.45° и 119.14°, т.е. два угла заметно меньше тетраэдрических, но один близок к 120°, в то время как в экспериментальной структуре – 94.92°, 105.76° и 110.11°, т.е., наоборот, один из углов лишь менее чем на 1° превышает тетраэдрический, а другой близок к 90°. При этом расчеты предсказывают сохранение π-взаимодействия между всеми тремя парами пентафторфенильных колец с расстоянием между кольцами около 3.4 Å в каждой паре, в то время как в экспериментальной структуре параллельными остаются лишь два из шести колец.

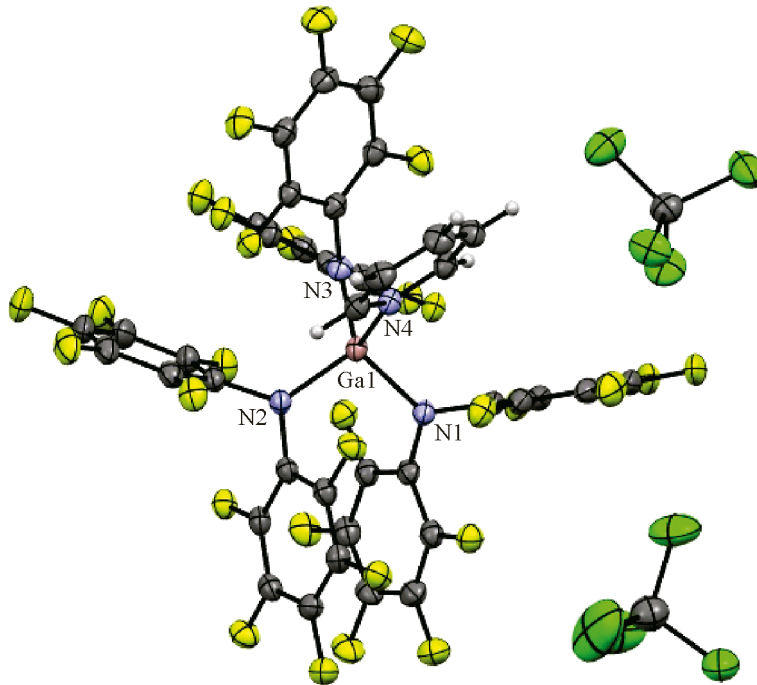


Рис. 2. Структура соединения $[(\text{C}_6\text{F}_5)_2\text{N}]_3\text{Ga}\cdot\text{Py}^*\cdot 2\text{CCl}_4$ в кристалле. Розовый эллипсоид соответствует атому галлия, синие – азота, черные – углерода, желтые – фтора, зеленые – хлора, белые сферы – водорода (см. электронную версию)

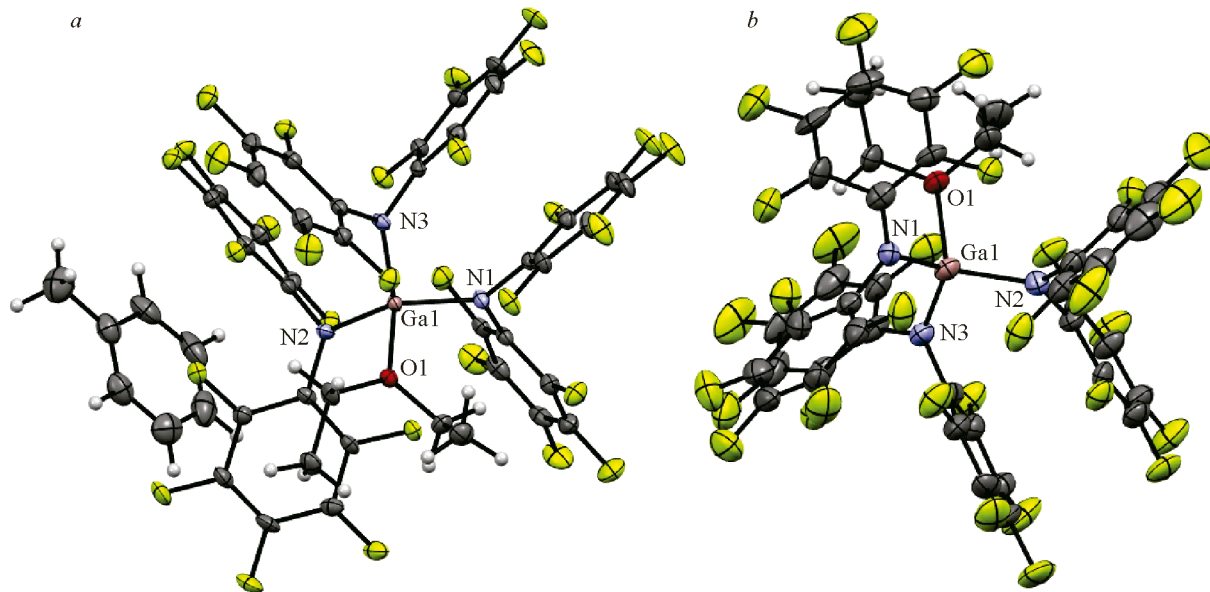


Рис. 3. Структура соединений $[(\text{C}_6\text{F}_5)_2\text{N}]_3\text{Ga}\cdot\text{Et}_2\text{O}^*\cdot \text{C}_6\text{H}_5\text{CH}_3$ (a) и $[(\text{C}_6\text{F}_5)_2\text{N}]_3\text{Ga}\cdot\text{Et}_2\text{O}$ (b) в кристалле. Розовые эллипсоиды соответствуют атомам галлия, синие – азота, черные – углерода, желтые – фтора, красные – кислорода, белые сферы – водорода (см. электронную версию)

Комплекс кислоты $\text{Ga}[\text{N}(\text{C}_6\text{F}_5)_2]_3$ с диэтиловым эфиром кристаллизуется из толуола в виде кристаллосольваты $\text{Ga}[\text{N}(\text{C}_6\text{F}_5)_2]_3\cdot\text{Et}_2\text{O}^*\cdot\text{C}_7\text{H}_8$ (рис. 3b), а из дихлорометана в виде непосредственно $\text{Ga}[\text{N}(\text{C}_6\text{F}_5)_2]_3\cdot\text{Et}_2\text{O}$ (рис. 3a). При этом при осаждении из раствора в дихлорометане получаются кристаллы более низкого качества, поэтому структура комплекса, не содержащего

в упаковке молекул растворителя, определена с большим значением фактора достоверности. Большинство известных донорно-акцепторных комплексов кислоты Льюиса $\text{Ga}[\text{N}(\text{C}_6\text{F}_5)_2]_3$ (с ацетонитрилом, THF, триметилфосфином) также кристаллизуются в виде кристаллосольватов [20]. Это позволяет предположить, что наличие молекул растворителя в структуре стабилизирует кристаллическую фазу.

Геометрические параметры обеих молекул донорно-акцепторных комплексов очень схожи друг с другом и похожи на геометрические параметры молекулы донорно-акцепторного комплекса $\text{Ga}[\text{N}(\text{C}_6\text{F}_5)_2]_3 \cdot \text{THF}$, кристаллизующегося так же в виде сольвата $\text{Ga}[\text{N}(\text{C}_6\text{F}_5)_2]_3 \cdot \text{THF}^*\text{C}_7\text{H}_8$ [20]. Встраивание в кристаллическую структуру молекул толуола практически не влияет на геометрические параметры молекулы донорно-акцепторного комплекса, хотя и значительно меняет параметры элементарной ячейки кристалла. Количество структурных единиц в ячейке и ее объем возрастают вдвое, меняется пространственная группа и сингония кристалла. При этом параметры элементарных ячеек кристаллосольватов донорно-акцепторных комплексов с диэтиловым эфиром и тетрагидрофураном оказываются практически одинаковыми: длины ребер элементарной ячейки a , b и c отличаются на $0.5645(9)$ Å (3.18 %), $0.0461(5)$ Å (0.37 %) и $0.1182(9)$ Å (0.55 %) соответственно; углы β – на $0.087(4)$ ° (0.085 %); объемы ячейки в кристалле сольвата $\text{Ga}[\text{N}(\text{C}_6\text{F}_5)_2]_3 \cdot \text{Et}_2\text{O}^*\text{C}_7\text{H}_8$ больше, чем в кристалле $\text{Ga}[\text{N}(\text{C}_6\text{F}_5)_2]_3 \cdot \text{THF}^*\text{C}_7\text{H}_8$, на $152.4(2)$ Å³ (3.3 %) [20].

С целью определения структурных особенностей комплексов $\text{Ga}[\text{N}(\text{C}_6\text{F}_5)_2]_3$ с пиридином и диэтиловым эфиром проанализированы данные для свободной кислоты $\text{Ga}[\text{N}(\text{C}_6\text{F}_5)_2]_3$ и ее комплексов с ацетонитрилом, *трет*-бутилизонитрилом, тетрагидрофураном и триметилфосфином, полученные нами, в сравнении с литературными [19, 20]. Выбранные геометрические параметры свободной кислоты Льюиса $\text{Ga}[\text{N}(\text{C}_6\text{F}_5)_2]_3$ и ее комплексов представлены в табл. 2.

Таблица 2

*Экспериментальные структурные параметры кислоты $\text{Ga}[\text{N}(\text{C}_6\text{F}_5)_2]_3$ и ее комплексов ($D = \text{O}$ для Et_2O и THF, N для Py и AN, C для *t*-BuNC и P для PMe₃)*

Соединение	$d(\text{Ga—N})$, Å	$d(\text{Ga—D})$, Å	$\angle(\text{N—Ga—N})$, град.	$\sum \angle(\text{N—Ga—N})$, град.	$\angle(\text{D—Ga—N})$, град.
$\text{Ga}[\text{N}(\text{C}_6\text{F}_5)_2]_3$ [19]	1.796(5); 1.826(4); 1.848(5)	–	114.3(2); 122.7(2); 123.0(2)	360.0(6)	–
$\text{Ga}[\text{N}(\text{C}_6\text{F}_5)_2]_3 \cdot \text{Et}_2\text{O}$ [настоящая работа]	1.897(7); 1.907(7); 1.917(6)	2.004(5)	104.2(3); 114.9(3); 124.1(3)	343.2(9)	94.3(2); 107.4(2); 111.3(2)
$\text{Ga}[\text{N}(\text{C}_6\text{F}_5)_2]_3 \cdot \text{Et}_2\text{O}^*\text{C}_7\text{H}_8$ [настоящая работа]	1.897(2); 1.903(2); 1.907(2)	1.994(1)	103.51(7); 114.21(7); 123.85(8)	341.6(2)	93.67(7); 106.41(7); 115.26(7)
$\text{Ga}[\text{N}(\text{C}_6\text{F}_5)_2]_3 \cdot \text{THF}^*\text{C}_7\text{H}_8$ [20]	1.889(2); 1.898(2); 1.901(2)	1.978(1)	104.12(7); 116.58(7); 123.58(7)	344.3(2)	93.46(7); 106.91(7); 110.83(7)
$\text{Ga}[\text{N}(\text{C}_6\text{F}_5)_2]_3 \cdot \text{Py}^*2\text{CCl}_4$ [настоящая работа]	1.897(3); 1.907(3); 1.908(3)	2.020(3)	104.1(1); 116.3(1); 124.3(1)	344.7(3)	94.9(1); 105.8(1); 110.1(1)
$\text{Ga}[\text{N}(\text{C}_6\text{F}_5)_2]_3 \cdot \text{AN} \cdot 1/2\text{C}_7\text{H}_8$ [20]	1.875(4); 1.876(4); 1.887(4)	2.009(7)	112.7(2); 114.2(2); 118.4(4)	345.3(8)	100.2(2); 103.7(2); 105.1(2)
$\text{Ga}[\text{N}(\text{C}_6\text{F}_5)_2]_3 \cdot t\text{-BuNC}$ [18]	1.882(2); 1.883(2); 1.885(2)	2.074(2)	110.67(9); 113.98(9); 119.76(9)	344.4(3)	100.76(9); 104.55(9); 104.81(9)
$\text{Ga}[\text{N}(\text{C}_6\text{F}_5)_2]_3 \cdot \text{P}(\text{CH}_3)_3 \cdot 1/2\text{C}_7\text{H}_8$ [20]	1.929(2)	2.438(1)	109.64(7)	328.9(2)	109.31(7)

Наблюдается значительное удлинение связей Ga—N при переходе от некоординированной кислоты $\text{Ga}[\text{N}(\text{C}_6\text{F}_5)_2]_3$ (средняя $1.823(5)$ Å) к ее донорно-акцепторным комплексам. Средняя длина связей Ga—N в комплексе с ацетонитрилом составляет $1.879(4)$, с диэтиловым эфиром — $1.902(7)$, с пиридином — $1.904(3)$ Å, т.е. в комплексах с диэтиловым эфиром и пиридином связи Ga—N удлиняются на $0.08(1)$ Å.

Длины донорно-акцепторных связей в комплексах возрастают при изменении донорного атома в ряду $\text{O} < \text{N} < \text{C} < \text{P}$ в соответствии с увеличением ковалентных радиусов донорных атомов [28]. Следует отметить, что в комплексе с THF связь Ga—O заметно короче ($1.978(1)$ Å), чем с диэтиловым эфиром ($1.994(1)$ и $2.004(5)$ Å), а связь Ga—N в комплексе с ацетонитрилом ($2.009(7)$ Å) короче, чем с пиридином ($2.020(3)$ Å), хотя пиридин (донорное число Гутмана (ДЧ) 33.1) является более сильным донором, чем ацетонитрил (ДЧ = 14.1), а THF и диэтиловый эфир обладают практически одинаковой донорной способностью (ДЧ (THF) = 20.0; ДЧ (Et_2O) = 19.2) [29]. Ранее показано, что длины связи в комплексах пентахлорида сурьмы с ацетонитрилом и пиридином совпадают в пределах погрешности, хотя ацетонитрил — более слабый донор [30]. Также следует отметить, что длина связи Al—N в комплексе $\text{AlBr}_3 \cdot \text{NEt}_3$ короче, чем в $\text{AlCl}_3 \cdot \text{NEt}_3$, несмотря на то, что хлорид алюминия является более сильной кислотой Льюиса, чем бромид алюминия [31].

Во всех рассмотренных в настоящей работе донорно-акцепторных комплексах координационное число атома галлия равно 4, однако окружение атома далеко от тетраэдрического. Валентные углы $E'—E—E'$ ($E = \text{Al}, \text{Ga}; E' = \text{O}, \text{N}, \text{C}$) внутри акцепторного фрагмента комплекса значительно больше тетраэдрических, часто приближаются к 120° и близки к соответствующим углам в свободных кислотах (сумма трех валентных углов составляет 340 – 345°), а два из трех углов $D—E—E'$ ($E = \text{Al}, \text{Ga}; E' = \text{O}, \text{N}, \text{C}; D = \text{O}, \text{N}$) соответственно значительно меньше тетраэдрических, в случае комплексов $\text{Ga}[\text{N}(\text{C}_6\text{F}_5)_2]_3 \cdot \text{Et}_2\text{O}$ и $\text{Ga}[\text{N}(\text{C}_6\text{F}_5)_2]_3 \cdot \text{THF}$ один из углов приближается к 90° . Подобная тригонально-пирамidalная структура свидетельствует о значительных затруднениях в изменении геометрии атома элемента 13-й группы при переходе от свободной кислоты к донорно-акцепторному комплексу. Единственным исключением служит комплекс $\text{Ga}[\text{N}(\text{C}_6\text{F}_5)_2]_3 \cdot \text{P}(\text{CH}_3)_3$, в котором окружение атома галлия практически идеально тетраэдрическое [20].

Особенность кислоты Льюиса $\text{Ga}[\text{N}(\text{C}_6\text{F}_5)_2]_3$ и ее комплекса с фосфином $\text{Ga}[\text{N}(\text{C}_6\text{F}_5)_2]_3 \cdot \text{P}(\text{CH}_3)_3$ — это внутримолекулярное π -взаимодействие между шестью пентафторфенильными кольцами, попарно расположеными практически параллельно на расстоянии около 3.5 Å. Указанная особенность частично сохраняется и в комплексах $\text{Ga}[\text{N}(\text{C}_6\text{F}_5)_2]$, с другими основаниями Льюиса — в каждом из них два из шести пентафторфенильных колец располагаются параллельно друг другу. Примечательно, что в комплексах $\text{Ga}[\text{N}(\text{C}_6\text{F}_5)_2]_3 \cdot \text{Py}$ и $\text{Ga}[\text{N}(\text{C}_6\text{F}_5)_2]_3 \cdot \text{Et}_2\text{O}$ расстояния между пентафторфенильными кольцами даже меньше, чем в свободной кислоте Льюиса (примерно 3.2 – 3.25 Å), в то время как в структуре $\text{Ga}[\text{N}(\text{C}_6\text{F}_5)_2]_3 \sim 3.5$ Å [19].

Таким образом, при образовании донорно-акцепторных комплексов $\text{Ga}[\text{N}(\text{C}_6\text{F}_5)_2]_3$ претерпевает значительные структурные изменения, что согласуется с высокими энергиями перестройки этой кислоты Льюиса при формировании донорно-акцепторных комплексов с пиридином (84 кДж/моль) и ацетонитрилом (49 кДж/моль) по данным квантово-химических расчетов [26].

ЗАКЛЮЧЕНИЕ

Геометрия донорно-акцепторных комплексов $\text{Ga}[\text{N}(\text{C}_6\text{F}_5)_2]_3 \cdot \text{Py}$ и $\text{Ga}[\text{N}(\text{C}_6\text{F}_5)_2]_3 \cdot \text{Et}_2\text{O}$ схожа с таковой комплексов этой кислоты Льюиса с ацетонитрилом, *трет*-бутилизонитрилом, тетрагидрофuranом. Окружение атома галлия в донорно-акцепторных комплексах, более близкое к тригонально-пирамидальному, чем к тетраэдрическому, свидетельствует о существенных затруднениях при комплексообразовании, связанных с перестройкой кислоты из геометрии свободного состояния в геометрию комплекса. При этом частично изменяется характер внутримо-

лекулярных взаимодействий в кислоте Льюиса: исчезают короткие контакты между атомами фтора и галлия, уменьшается количество пентафторфенильных колец, вовлеченных в π -взаимодействия друг с другом.

Работа выполнена при финансовой поддержке международного проекта РНФ-DFG, проект Российской научного фонда № 21-43-04404.

Авторы благодарят ресурсный парк СПбГУ за доступ к оборудованию ресурсных центров СПбГУ «Рентгено-дифракционные методы исследования» и «Магнитно-резонансные методы исследования».

СПИСОК ЛИТЕРАТУРЫ

1. A. Corma, H. García. Lewis acids: From conventional homogeneous to green homogeneous and heterogeneous catalysis. *Chem. Rev.*, **2003**, 103(11), 4307–4366. <https://doi.org/10.1021/cr030680z>
2. J. Becica, G.E. Dobereiner. The roles of Lewis acidic additives in organotransition metal catalysis. *Org. Biomol. Chem.*, **2019**, 17(8), 2055–2069. <https://doi.org/10.1039/c8ob02856g>
3. F. Fringuelli, O. Piermatti, F. Pizzo, L. Vaccaro. Recent advances in Lewis acid catalyzed Diels–Alder reactions in aqueous media. *Eur. J. Org. Chem.*, **2001**, 2001(3), 439–455. [https://doi.org/10.1002/1099-0690\(200102\)2001:3<439::aid-ejoc439>3.3.co;2-2](https://doi.org/10.1002/1099-0690(200102)2001:3<439::aid-ejoc439>3.3.co;2-2)
4. K. Suyama, K. Matsumoto, T. Katsuki. Asymmetric Lewis acid catalysis of aluminum(salalen) complexes: Friedel–Crafts reaction of indole. *Heterocycles*, **2009**, 77, 817–824. [https://doi.org/10.3987/com-08-8\(f\)93](https://doi.org/10.3987/com-08-8(f)93)
5. A.J. Flynn, A. Ford, A.R. Maguire. Synthetic and mechanistic aspects of sulfonyl migrations. *Org. Biomol. Chem.*, **2020**, 18(14), 2549–2610. <https://doi.org/10.1039/c9ob02587a>
6. H. Pellissier. Enantioselective magnesium-catalyzed transformations. *Org. Biomol. Chem.*, **2017**, 15(22), 4750–4782. <https://doi.org/10.1039/c7ob00903h>
7. D.W. Stephan. Frustrated Lewis pairs. *J. Am. Chem. Soc.*, **2015**, 137(32), 10018–10032. <https://doi.org/10.1021/jacs.5b06794>
8. I.M. Riddlestone, A. Kraft, J. Schaefer, I. Krossing. Taming the cationic beast: Novel developments in the synthesis and application of weakly coordinating anions. *Angew. Chem., Int. Ed.*, **2018**, 57(43), 13982–14024. <https://doi.org/10.1002/anie.201710782>
9. L.O. Müller, D. Himmel, J. Stauffer, G. Steinfeld, J. Slattery, G. Santiso-Quiñones, V. Brecht, I. Krossing. Simple access to the non-oxidizing Lewis superacid $\text{PhF} \rightarrow \text{Al(ORF)}_3(\text{RF}=\text{C}(\text{CF}_3)_3)$. *Angew. Chem., Int. Ed.*, **2008**, 47(40), 7659–7663. <https://doi.org/10.1002/anie.200800783>
10. P. Erdmann, J. Leitner, J. Schwarz, L. Greb. An extensive set of accurate fluoride ion affinities for *p*-block element Lewis acids and basic design principles for strong fluoride ion acceptors. *ChemPhysChem*, **2020**, 21(10), 987–994. <https://doi.org/10.1002/cphc.202000244>
11. A.Y. Timoshkin, K. Morokuma. Novel group 13 Lewis superacids and 13–15 donor–acceptor cryptands for hydrogen activation: A theoretical study. *Phys. Chem. Chem. Phys.*, **2012**, 14(43), 14911. <https://doi.org/10.1039/c2cp41795b>
12. L.A. Mück, A.Y. Timoshkin, G. Frenking. Design of neutral Lewis superacids of group 13 elements. *Inorg. Chem.*, **2012**, 51(1), 640–646. <https://doi.org/10.1021/ic202152h>
13. T. Thorwart, L. Greb. Reversible C–H bond silylation with a neutral silicon Lewis acid. *Chem. Sci.*, **2023**, 14(40), 11237–11242. <https://doi.org/10.1039/d3sc03488g>
14. L. Greb. Lewis superacids: Classifications, candidates, and applications. *Chem. – Eur. J.*, **2018**, 24(68), 17881–17896. <https://doi.org/10.1002/chem.201802698>
15. T. Kaehler, R.L. Melen. Comparative study of fluorinated triarylalanes and their borane counterparts. *Cell Rep. Phys. Sci.*, **2021**, 2(10), 100595. <https://doi.org/10.1016/j.xcrp.2021.100595>
16. L.A. Körte, J. Schwabedissen, M. Soffner, S. Blomeyer, C.G. Reuter, Y.V. Vishnevskiy, B. Neumann, H. Stammller, N.W. Mitzel. Tris(perfluorotolyl)borane – a boron Lewis superacid. *Angew. Chem., Int. Ed.*, **2017**, 56(29), 8578–8582. <https://doi.org/10.1002/anie.201704097>
17. J.L. Carden, A. Dasgupta, R.L. Melen. Halogenated triarylboranes: Synthesis, properties and applications in catalysis. *Chem. Soc. Rev.*, **2020**, 49(6), 1706–1725. <https://doi.org/10.1039/c9cs00769e>
18. J.F. Kögel, A.Y. Timoshkin, A. Schröder, E. Lork, J. Beckmann. $\text{Al(OCAF}_3\text{)}_3$ – a thermally stable Lewis superacid. *Chem. Sci.*, **2018**, 9(43), 8178–8183. <https://doi.org/10.1039/c8sc02981d>
19. J.F. Kögel, D.A. Sorokin, A. Khvorost, M. Scott, K. Harms, D. Himmel, I. Krossing, J. Sundermeyer. The Lewis superacid $\text{Al}[\text{N}(\text{C}_6\text{F}_5)_2]_3$ and its higher homolog $\text{Ga}[\text{N}(\text{C}_6\text{F}_5)_2]_3$ – Structural features, theoretical inves-

- tigation and reactions of a metal amide with higher fluoride ion affinity than SbF_5 . *Chem. Sci.*, **2018**, 9(1), 245–253. <https://doi.org/10.1039/c7sc03988c>
20. J.F. Kögel, D.A. Sorokin, M. Scott, K. Harms, D. Himmel, I. Krossing, J. Sundermeyer. Lewis acid–base adducts of $\text{Al}(\text{N}(\text{C}_6\text{F}_5)_2)_3$ and $\text{Ga}(\text{N}(\text{C}_6\text{F}_5)_2)_3$ – Structural features and dissociation enthalpies. *Dalton Trans.*, **2022**, 51(12), 4829–4835. <https://doi.org/10.1039/d2dt00003b>
21. E.G. Delany, S. Kaur, S. Cummings, K. Basse, D.J.D. Wilson, J.L. Dutton. Revisiting the perfluorinated trietyl cation. *Chem. – Eur. J.*, **2019**, 25(20), 5298–5302. <https://doi.org/10.1002/chem.201806110>
22. CrysAlisPro, 1.171.41.206a (release 127-106-2012). Oxford, UK: Rigaku Oxford Diffraction, **2021**.
23. O.V. Dolomanov, L.J. Bourhis, R.J. Gildea, J.A.K. Howard, H. Puschmann. OLEX2: a complete structure solution, refinement and analysis program. *J. Appl. Crystallogr.*, **2009**, 42(2), 339–341. <https://doi.org/10.1107/s0021889808042726>
24. G.M. Sheldrick. SHELXT – Integrated space-group and crystal-structure determination. *Acta Crystallogr., Sect. A: Found. Adv.*, **2015**, 71(1), 3–8. <https://doi.org/10.1107/s2053273314026370>
25. G.M. Sheldrick. Crystal structure refinement with SHELXL. *Acta Crystallogr., Sect. C: Struct. Chem.*, **2015**, 71(1), 3–8. <https://doi.org/10.1107/s2053229614024218>
26. A.S. Zavgorodnii, A.V. Pomogaeva, A.Y. Timoshkin. Complexes of the Lewis acid $\text{Ga}[\text{N}(\text{C}_6\text{F}_5)_2]_3$ with acetonitrile and pyridine. *Russ. J. Gen. Chem.*, **2020**, 90(12), 2305–2311. <https://doi.org/10.1134/s1070363220120130>
27. K.R. Leopold, M. Canagaratna, J.A. Phillips. Partially bonded molecules from the solid state to the stratosphere. *Acc. Chem. Res.*, **1997**, 30(2), 57–64. <https://doi.org/10.1021/ar9501151>
28. B. Cordero, V. Gómez, A.E. Platero-Prats, M. Revés, J. Echeverría, E. Cremades, F. Barragán, S. Alvarez. Covalent radii revisited. *Dalton Trans.*, **2008**, (21), 2832. <https://doi.org/10.1039/b801115j>
29. V. Gutmann. Solvent effects on the reactivities of organometallic compounds. *Coord. Chem. Rev.*, **1976**, 18(2), 225–255. [https://doi.org/10.1016/s0010-8545\(00\)82045-7](https://doi.org/10.1016/s0010-8545(00)82045-7)
30. E.I. Davydova, A.V. Virovets, E.V. Peresypkina, I.V. Kazakov, A.Y. Timoshkin. Structures of molecular complexes of SbCl_5 with pyridine and acetonitrile: Equal bond lengths, different stability. *Russ. Chem. Bull.*, **2020**, 69(1), 84–90. <https://doi.org/10.1007/s11172-020-2726-6>
31. A.Y. Timoshkin, M. Bodensteiner, T.N. Sebastianova, A.S. Lisovenko, E.I. Davydova, M. Scheer, C. Graßl, A.V. Butlak. Do solid-state structures reflect Lewis acidity trends of heavier group 13 trihalides? Experimental and theoretical case study. *Inorg. Chem.*, **2012**, 51(21), 11602–11611. <https://doi.org/10.1021/ic301507c>